

Tg レスエポキシ樹脂をマトリックスとする CFRP の機械的特性

邊 吾一 (機械工学科) 平山 紀夫 (日東紡績(株))

1. 緒言

近年、エポキシ樹脂の硬化触媒をカルボン酸カリウム塩にすることで、高温下でも剛性の低下しない Tg-レスエポキシ樹脂を調製できることが発見¹⁾された。これは Tg-レスエポキシ樹脂の架橋密度が、通常のエポキシ樹脂と比べて高いためである。実際に Tg-レスエポキシ樹脂を GFRP のマトリックスとして成形すると、250°C の高温下でも室温(=25°C)での弾性率の 80% 以上を維持する高い耐熱特性²⁾を示す複合材料となる。

しかし Tg-レスエポキシ樹脂を CFRP にした場合、今まで十分な耐熱特性を得ることができなかった。前回までの実験により、著者らは炭素繊維の表面に塗布された接着剤による CFRP の強度への影響が大きいことを見出した。対策として繊維表面に溶剤処理、アルカリ洗浄などを施すことが効果的である³⁾ことも判明している。

そこで本研究では樹脂の骨格に着目している。Fig1.上部に示すように、Tg-レスエポキシ樹脂の骨格は架橋密度が高いだけで、一般的なビスフェノール A と同じである。今回はその他に Fig1.下部の 1,6-ジヒドロキシナフタレン(以降、ナフタレンと呼称)を主骨格とする樹脂も調製した。架橋密度とは骨格間の繋がりのことであるが、ナフタレン構造はビスフェノール A に対して単位体積辺りに存在できる骨格の数が多い(=密度が高い)という利点を持っている。これによりナフタレン骨格の樹脂は酸素透過性が低く、加熱時の酸化劣化の進行が遅いため、長期的な耐熱性に優れると予測できる。本研究ではビスフェノール A とナフタレン骨格の樹脂を CFRP のマト

リックスとした場合の機械的特性を報告する。

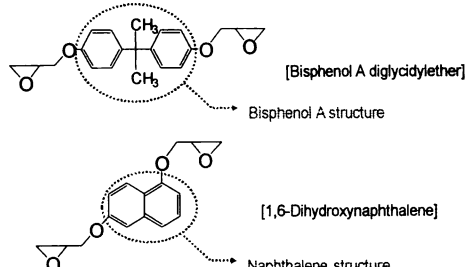


Fig.1 Difference between
1,6-Dihydroxynaphthalene diglycidylether
and Bisphenol A diglycidylether

2. 試験

2.1 動的粘弾性試験 樹脂のみの特性を比較するために、ビスフェノール A とナフタレン骨格の樹脂板に対して動的粘弾性試験を行った。各寸法は厚さ h=2mm、幅 b=10mm、長さ l=40mm である。

また長期的な耐熱特性の違いを明らかにするために、樹脂ごとに 200°C で 100 時間の熱エージングを施して室温で冷ました物と、特に事前の加熱処理を施さない物を用意した。これら合計 4 種類の試験片を評価する。

試験機は DMS6100(セイコーアイヌルメンツ社製粘弾性測定装置)を使用する。試験条件は両端固定の曲げモードとし、加振周波数=1Hz、温度条件=0~320°C、昇温速度=2°C/min とする。

2.2 CFRP 試験片について CFRP のマトリックスとして、ビスフェノール A 骨格とナフタレン骨格の 2 タイプの樹脂を使用する。強化剤は炭素繊維綾織りクロス CO6347(東レ株式会社)を両タイプに対して共通で使用している。

また炭素繊維の結着剤がエポキシ樹脂の重合阻害を起さないように、繊維に対して0.02%濃度のアルカリ洗浄による中和³⁾を施す。

CFRP試験片の成形には HLU方式を採用した。平板形状の金型を使用し、所定枚数(=9PLY)の強化繊維織物に含浸積層させる。

最後に温度180℃の加熱プレス成形を2時間行った。寸法は厚さh=2mm、支点間距離l=80mm、幅b=15mmである。

2.3 高温三点曲げ試験

短期的な耐熱

特性を比較するために、高温三点曲げ試験を行った。恒温槽が付属しているオートグラフを試験機として使用し、引張りモードを籠型の治具により曲げモードに変換している。試験速度は5mm/minである。

またCFRP試験片の成形法や寸法は2.2項に準ずる。温度条件は常温(約25℃)の他に100, 150, 200, 250, 300℃の合計6条件とし、加熱に2時間をかけて装置全体の温度を安定させる。試験片に対しても、試験開始前に各温度で30分間保持することで温度の均一化を図った。

曲げ応力σと曲げひずみεはJIS K 7074に準拠する以下の式(1)と式(2)によって算出した。ここでFは試験荷重[N]、dは圧子の変位[mm]である。

$$\sigma = \frac{3Fl}{2bh^2} \quad (1)$$

$$\varepsilon = \frac{6dh}{l^2} \quad (2)$$

2.4 曲げクリープ試験

長期的な耐熱特性

を比較するため、曲げクリープ試験を行った。試験片については全て2.2項と同一とする。応力レベルは常温での破壊応力の10%程度とする。温度条件は150, 200, 250℃の3通りであり、装置と試験片は十分な時間をか

けて加熱した。試験時間は100[hr]であり、荷重点の変位d_cを測定する。曲げクリープひずみε_cと、曲げクリープコンプライアンスD_cはJIS K7088に準拠する次の式(3)と式(4)で求める。

$$\varepsilon_c = \frac{6d_c h}{L^2} \quad (3)$$

$$D_c = \frac{\varepsilon_c}{\sigma} \quad (4)$$

3 結果と考察

3.1 動的粘弹性試験

樹脂板への試験結果の内、ビスフェノールA骨格の結果をFig.2(a)に示す。図中の青いラインが熱エージング無し、赤いラインが温度200℃で、100hrの熱エージングを施した試験片の結果である。またグラフ上部の実線が貯蔵弾性率(E':イープライム)の値であり、下部の破線がtan δを表す。

ここで熱エージング無しのtan δ(青い破線)を見ると、全温度範囲で平坦な結果を示すことが解る。次に熱エージング有りのtan δ(赤い破線)を見ると、180℃付近にピーク値を確認することができる。この結果はTg-レスエポキシ樹脂であるはずのビスフェノールAに長時間の加熱をすると、一般のエポキシ樹脂と同じようにTgが表れてしまうことを意味する。

これは熱エージングによりTg-レスエポキシ樹脂の分子鎖が熱分解を起こし、主鎖の拘束が緩んだためと考えられる。このことからビスフェノールAを主骨格とするTg-レスエポキシ樹脂には、特に高温環境下において長時間の使用をする際にTgが存在すると言える。

対してFig.2.(b)に示すナフタレンの結果には、熱エージングの有無に関わらずtan δのピークが表れない。このことからナフタレンを主骨格とするTg-レスエポキシ樹脂は加熱

による分子鎖の熱分解を起さないと考えることができ、高温下での長時間の使用においても T_g が存在しないと言える。つまりナフタレン骨格の T_g -レスエポキシ樹脂は長期的な耐熱特性に優れている。

3.2 高温三点曲げ試験 Fig3.に曲げ弾性率の結果を示す。▲印がナフタレンタイプ、●印がビスフェノールAタイプである。ここでビスフェノールA骨格とナフタレン骨格、どちらの場合も緒言で述べたGFRPのように、高温下で常温($\approx 25^{\circ}\text{C}$)の80%以上の弾性率を維持することが可能である。全体的な傾向としてはわずかであるが、ナフタレン骨格の樹脂を使用したCFRPの弾性率がビスフェノールA骨格のCFRPを上回っている。

次のFig4.は曲げ強さの結果である。こちらも曲げ弾性率の時と同じく、ナフタレンの方が高めの値を示している。これらの結果から短期間の耐熱特性において、ナフタレン主骨格の T_g -レスエポキシ樹脂を用いたCFRPは従来のビスフェノールA主骨格の樹脂を用いた物と比べて優れていると言える。

3.3 三点曲げクリープ試験 Fig5.に 150°C のクリープ試験結果を示す。▲印がナフタレン、●印がビスフェノールAの結果を表しているが、この温度では両者の間に大きなクリープひずみの差は見られない。

次に 200°C の試験結果は Fig6.のようになる。この温度になると、約 $5[\log(\text{sec})](30\text{ 時間})$ を境にビスフェノールA骨格の T_g -レス CFRPの変形量が徐々に増している。

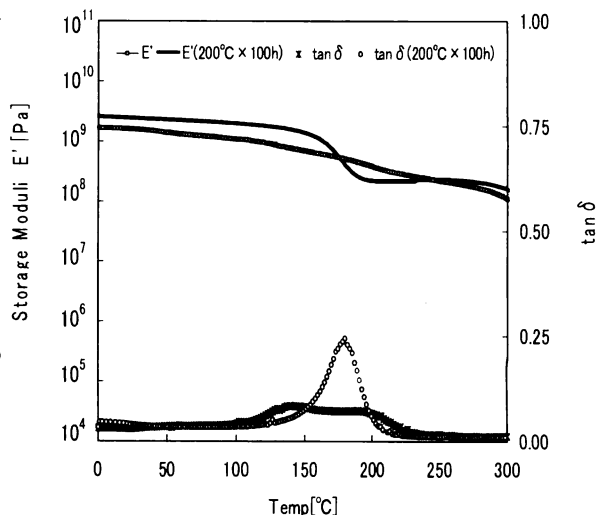
最後に 250°C の結果を Fig7.に示す。 200°C の結果に表っていたビスフェノールAのクリープひずみの増加がより顕著になっている。

これは3.1項で述べたように、加熱により分子鎖の熱分解が開始したためである。その一方で、ナフタレン主骨格の T_g -レス CFRP

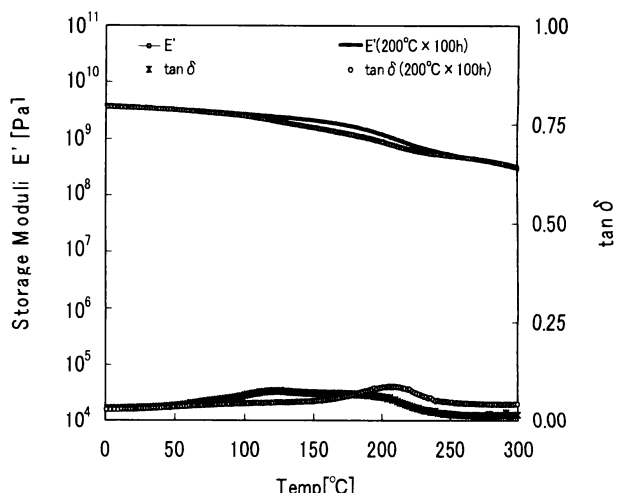
は100時間後でもビスフェノールAのクリープひずみの半分程度に変形を抑えることができる。これらの結果から長期的な耐熱特性においても、ナフタレン骨格の樹脂をマトリクスとするCFRPは優れていると思われる。

4 結言

ビスフェノールAとナフタレンを主骨格とする2種類のCFRPの機械的特性を評価した結果、耐熱性の高いナフタレンを T_g -レスエポキシ樹脂の主骨格とすることで、より耐熱特性が向上したCFRPを得られる。



(a) Bisphenol A type



(b) Naphthalene type

Fig.2 Results of DMA of T_g -less CFRP

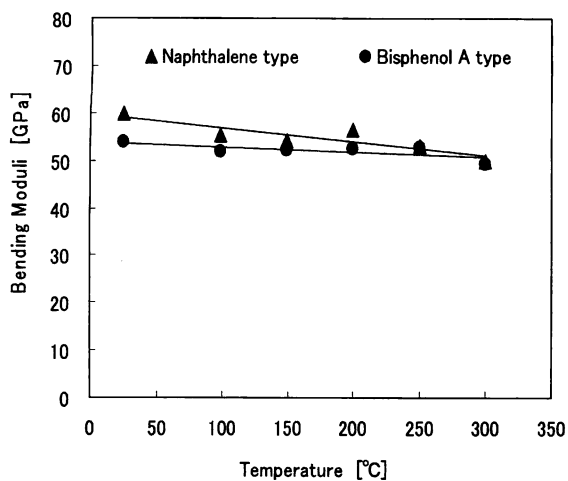


Fig.3 Bending moduli under various temperatures

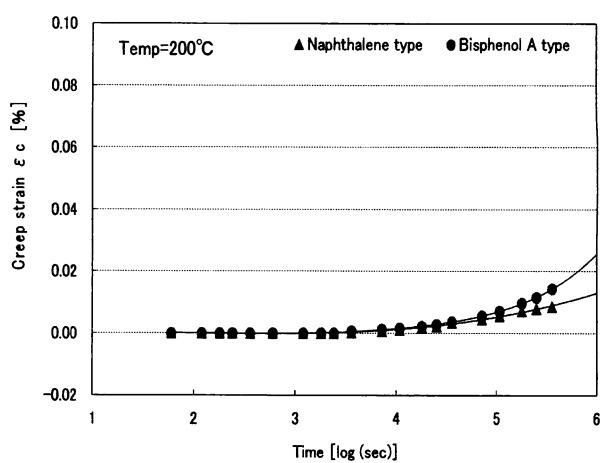


Fig.6 Creep strain of T_g -less CFRP at 2000°C

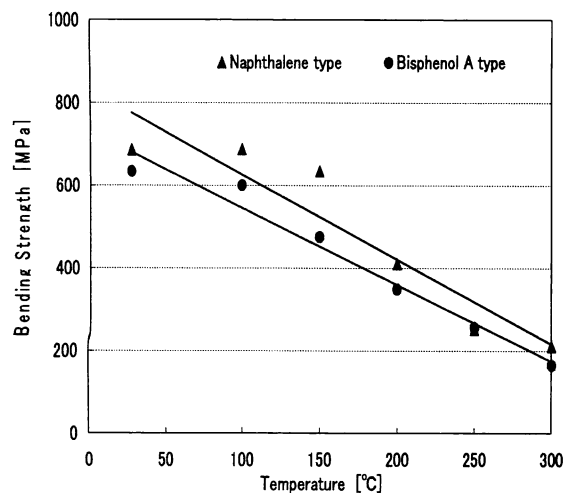


Fig.4 Bending Strength under various

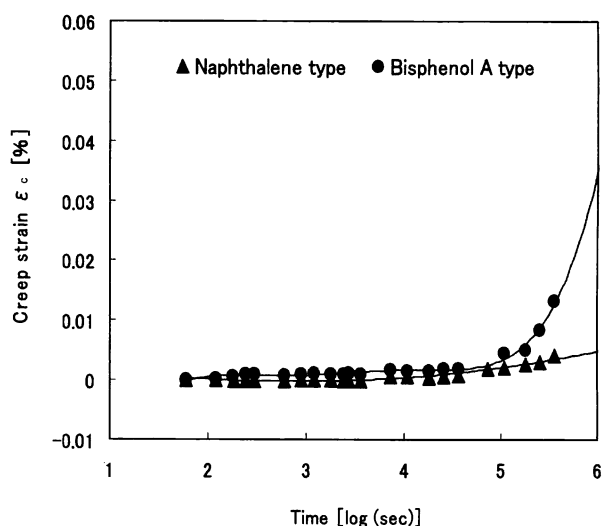


Fig.7 Creep strain of T_g -less CFRP at 250°C

参考文献

- 1) 西田裕文, 植田尚敏, 松田聰, 岸肇, 村上惇, 第41回日本接着学会年次大会要旨集, 75, (2003)
- 2) 西田裕文, 平山紀夫, 第29回複合材料シンポジウム講演要旨集, 265, (2004)
- 3) 荘司明子, 平山紀夫, 西田裕文, 邊吾一, 第31回複合材料シンポジウム講演要旨集, 33, (2006)

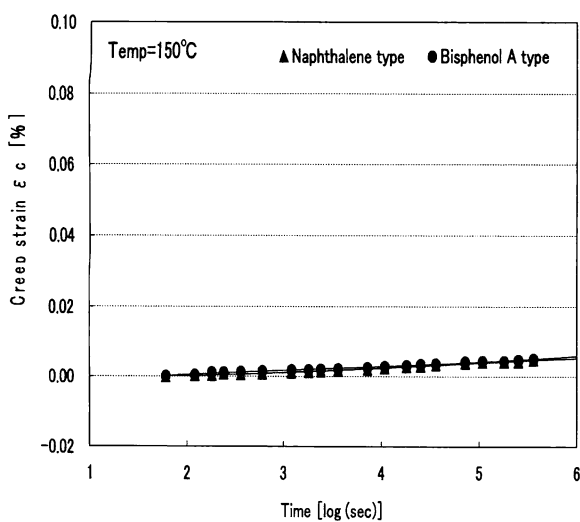


Fig.5 Creep strain of T_g -less CFRP at 150°C